

ФОП Рожко В.Н.

Кваліфікаційний сертифікат експерта технічного обстеження будівель і споруд  
серія АЕ №002627, реєстраційний номер №2510, виданий атестаційною  
архітектурно-будівельною комісією Мінрегіонбуду 01.08.2013

**ЗВІТ**

*Науково-дослідницькі роботи з обстеження технічного стану здірних  
залізобетонних балок шляхопроводу по вул. Хорольській у м. Миргороді*

№ 30/2017

Замовник: Відділ капітального будівництва Миргородської міської ради

ФО-П



Рожко В.Н.

м. Полтава, 2017 р.

ФОП Рожко В.Н.

Кваліфікаційний сертифікат експерта технічного обстеження будівель і споруд  
серія АЕ №002627, реєстраційний номер №2510, виданий атестаційною  
архітектурно-будівельною комісією Мінрегіонбуду 01.08.2013

### ЗВІТ

Науково-дослідницькі роботи з обстеження технічного стану здірних  
залізобетонних балок шляхопроводу по вул. Хорольській у м. Миргороді

№ 30/2017

Замовник: Відділ капітального будівництва Миргородської міської ради

Експерт з технічного обстеження  
будівель і споруд, к.т.н., доцент

Інженер-будівельник, к.т.н., доцент

  
  
Рожко Валерій Наріцин

Носач О.Б.

Полтава, 2017 р.

## СПИСОК ВИКОНАВЦІВ

Експерт з технічного обстеження  
будівель і споруд  
к.т.н., доцент

В.Н.Рожко

Інженер-будівельник  
к.т.н., доцент

О.Б.Носач

Зн	Лист	№ докум.	Лідурс	Дата
Розробив	Носач О.Б.			
Перебірив	Рожко В.Н.			
Наклад.				

№ 30/2017 – ТО

## СПИСОК ВИКОНАВЦІВ

Стадія	Аркуш	Аркушів
ТО	3	129
ФОП Рожко В.Н.		

## 1 АРХІТЕКТУРНО-КОНСТРУКТИВНА

### ХАРАКТЕРИСТИКА ОБ'ЄКТУ ОБСТЕЖЕННЯ

Шляхопровід по вул. Хорольській у м. Миргород збудований у 1975 році. Проектної та виконавчої документації на об'єкт в архівах не збереглись.

Шляхопровід з'єднує південну частину Миргорода з центральною. Він перетинає залізницю Полтава Південна - Ромодан поряд із станцією "Миргород" (три залізничні колії під кутом  $43^\circ$  в плані), також два місцеві проїзди та розташований на вертикальній крибій.

Схема шляхопроводу  $21,0 \times 3 + 33,0 \times 1 + 21,0 \times 3$  м, підмостовий габарит складає: над залізничною колією 7,3 м, над проїздами 7,7 та 8,9 м. Прогонові будови балочні, косі, температурно-нерозрізні, загальною довжиною 160,71 м виготовлені за типовою серією 3.503.1.81 під розрахункове навантаження Н-30 і НК-80. Вони складаються з' двотаврових залізобетонних бездіафрагмових балок з попередньо напружену арматурою довжиною 21 м та 33 м і з'єднані між собою армованими монолітними ділянками. Балки в першому і останньому прольоті використані для косих прогонних будов з недобетонованою з однієї сторони плитою. Поперечний переріз складається з 8 балок в кожному прольоті, відстань між ними 2,50 м. Висота балок довжиною 21 м становить 1,2 м, а довжиною 33 м - 1,5 м. Через різну висоту балок на опорах №4 і №5 установлені різновисокі підферменники. Мостове полотно складається з монолітної плити товщиною 15 см, гідроізоляції товщиною 1 см, захисного шару бетону товщиною: 4 см і дрібнозернистого асфальтобетону товщиною 10 см. Після проведення кількаразових ремонтів товщина асфальтобетону може бути до 15 см (уточнити при розбиранні мостового полотна).

Зм.	Лист	№ докум.	Підпись	Дата
Розробив	Носач О.Б.			
Перевірив	Рожко В.Н.			
Н.контр.				

№ 30/2017 - ТО

1 АРХІТЕКТУРНО-  
КОНСТРУКТИВНА  
ХАРАКТЕРИСТИКА ОБ'ЄКТА  
ОБСТЕЖЕННЯ

Стадія	Аркуш	Аркушів
ТО	6	129

ФОП Рожко В.Н.

Габарит проїзної- частини 16,00 м по борту з тротуарами 2х2,50 м. Тротуари збірні, виконані із залізобетонних секцій. Поверх, без гідроізоляції, вкладено шар асфальтобетону товщиною 2-3 см.

По вул. Хорольськай передбачено двостороннє зовнішнє освітлення. В межах підходів встановлені залізобетонні опори, а на шляхопроводи, по краях тротуарів, встановлені металеві опори.

Перильне огороження на пішоходах та шляхопроводів виконано із металевих типових секцій. Кріплення огороження здійснюється до закладених деталей в полиці тротуарних блоків.

По всій довжині шляхопроводу та на підходах тротуари відділені від проїзної частини залізобетонним парапетним огороженням. Воно виконане як одне ціле з тротуарним блоком.

Устої шляхопроводу обсипні стовпчасті, складаються з 4 залізобетонних стійок-оболонок діаметром 1,20 м і довжиною 6-8 м на безростверковому фундаменті, об'єднані залізобетонним ригелем.

Проміжні опори - складаються: з 4 залізобетонних стійок-оболонок діаметром 1,20 м і довжиною 6-8 м на безростверковому фундаменті, об'єднані залізобетонною насадкою-ригелем.

Під центральним прогоном довжиною 33 м підвішений провід повітряної контактної мережі залізниці. На тротуарах, біля огороження навпроти проводу, встановлені металеві захисні щити.

Укріплення конусів виконано з монолітного бетону і розбиті на секції дерев'яними планками.

У період обстеження виявлено ряд дефектів, які в процесі експлуатації шляхопроводу можуть отримати розвиток і скоротити його довговічність.

Так, на деформаційних швах повністю зруйновані лотки-компенсатори та місця їх кріплення, виявлено протікання води з вилуговуванням солей бетону та

Змн.	Арк.	№ докум.	Підпис	Дата

№ 30/2017 – ТО

Арк.

місцями руйнування бетону, відколювання бетону в місцях виходу водовідвідних трубок.

Механічних пошкоджень, силових тріщин та ознак перевантаження у балках не виявлено. В ході обстеження мостового полотна виявлені вибоїни і ями у покритті глибиною до 4 см, поперечні тріщини над переходними плитами, напливи та хвилі асфальтобетону. На багатьох водовідвідних трубках відсутні решітки та воронки, що погіршує умови руху та водовідвід з проїзної частини.

На примиканні тротуарів підходів до тротуарів мостового полотна виявлено просідання тротуарних блоків та земляного насипу, забруднення та руйнування покриття.

На тротуарах шляхопроводу значне руйнування покриття, відсутні гідроізоляція та деформаційні шви, стики між тротуарними блоками мають значні зміщення. У підтротуарні жолоби, де прокладені комунікації, проникає вода.

На багатьох ділянках парапетного огороження виявлено викришування та корозію бетону. Спостерігається незначне зміщення секцій у плані.

Через застарілу і не досконалу конструкцію гідроізоляції відбувається замокання мостового полотна. Як наслідок, можливе порушення захисного шару бетону, оголення і корозія каркасної арматури на полках балок.

Опори шляхопроводу, ригелі та балки в цілому знаходяться у добром стані, за винятком їх зовнішнього вигляду через вивітрювання бетону і незначні сколи.

Через відсутність належного експлуатаційного утримання, рухомі металеві коткові опорні частини потребують антикорозійного захисту.

Перильне огороження має значні поздовжні та поперечні деформації. Закладні деталі та нижні частини огороження не фарбовані, вражені корозією.

Металеві опори освітлення мають незадовільний зовнішній вигляд і повністю вкриті, шаром іржі.

Змн.	Арк.	№ докум.	Підпис	Дата

№ 30/2017 – ТО

Арк.

8

На конусах, через просідання насипу, спостерігаються локальні руйнування укрілення з монолітного бетону, що призводить до проникнення вологи в тіло конусів.

Головною причиною виникнення більшості дефектів є звложение елементів опор, балок унаслідок незадовільного стану конструкцій деформаційних швів та гідроізоляції. Тривале намокання бетонних поверхонь під впливом атмосферних факторів (дощ, сніг, мороз), а також експлуатаційних (солі та сольові розчини) при відсутності належної гідроізоляції, герметичних деформаційних швів та водовідводу призводить до вилуговування солей цементного каменю, корозії бетону захисного шару і його руйнування.

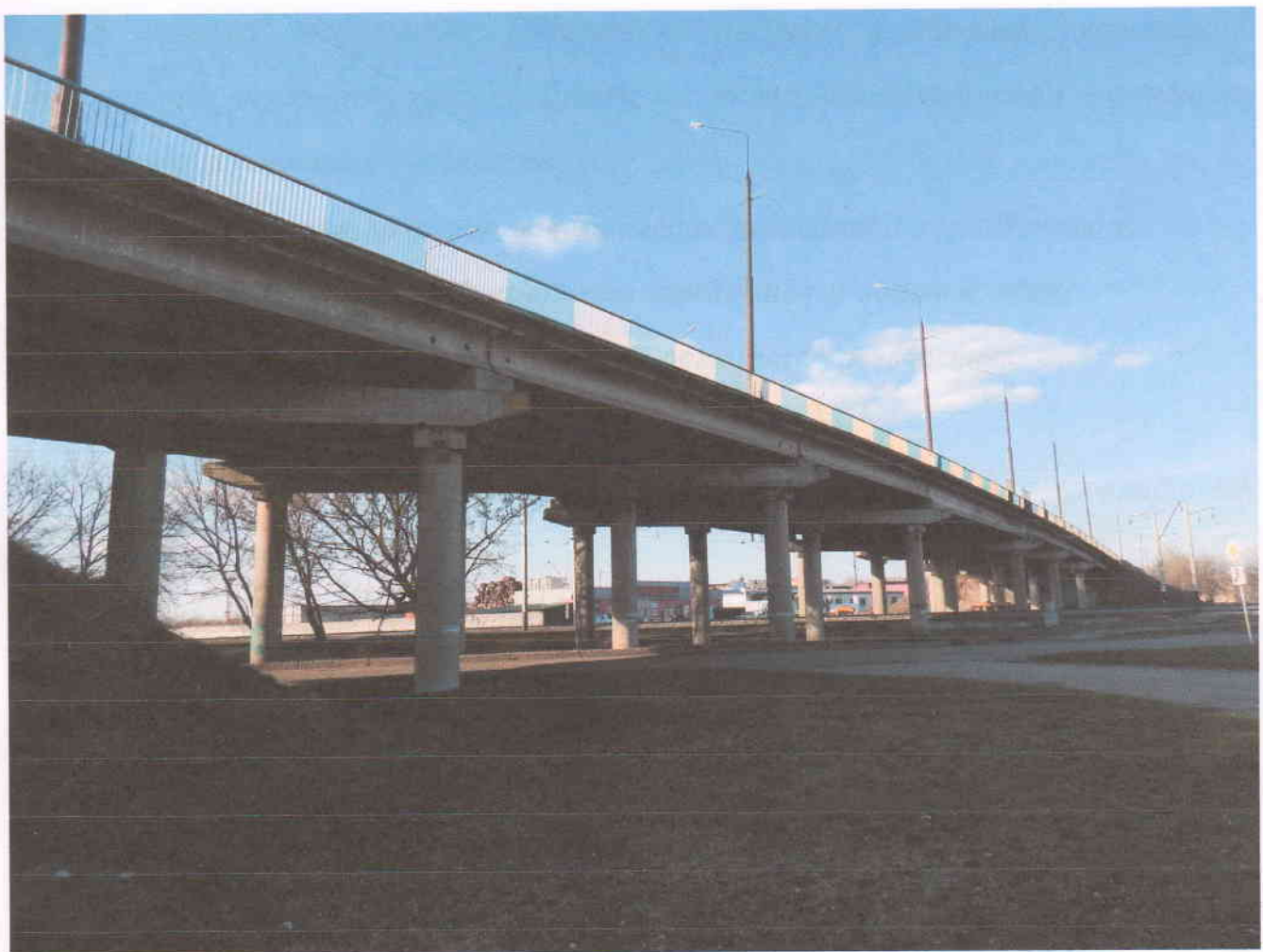


Рис. 1.1 – Шляхопровід по вул. Хорольській у м. Миргород вид в осях 1-8

Змн.	Арк.	№ докум.	Підпис	Дата

№ 30/2017 – ТО

Арк.

## 2 МЕТОДИКА ОБСТЕЖЕННЯ

Обстеження будівельних конструкцій з контролем міцності матеріалів будівлі включає наступні (взаємозв'язані) етапи:

- візуальне обстеження конструкцій з ескізуванням (фотографуванням) встановлених дефектів та пошкоджень;
- інструментальна фіксація кількісних параметрів дефектів та пошкоджень;
- неруйнівний контроль міцності матеріалів конструкцій.

### 2.1. Візуальне обстеження

В процесі візуального обстеження несучих будівельних конструкцій аналізувалась інформація про їх будову та склад, технічний стан і наявність дефектів та пошкоджень, таких як:

- руйнування захисних лакофарбових покривів і корозії металу;
- розривів і тріщин в основному металі або у зварювальних швах;
- викривлення елементів, місцеві погнутості, жолоблення;
- розладу болтових і заклепкових з'єднань;
- вирізів елементів або їх повний демонтаж у зв'язку з прокладанням комунікацій і промпроводок;
- деформацій, викликаних перевантаженнями або нерівномірними осіданнями і креном фундаментів;
- абразивного зносу металу;
- тріщини в залізобетонних конструкціях;
- відшарування захисних шарів і покривів;
- виколи та випадання окремих частин конструкцій;

Зм.	Лист	№ докум.	Підпис	Дата
Розробив	Носач О.Б.			
Перевірив	Рожко В.Н.			
Н.контр.				

№ 30/2017 – ТО

Стадія	Аркуш	Аркушів
TO	10	129

2 МЕТОДИКА ОБСТЕЖЕННЯ

ФОП Рожко В.Н.

- пошкодження цегляної кладки;
- розшарування матеріалів конструкцій;
- прогини, випучування та нерівномірні осадки несучих конструкцій будівлі;
- замокання, висоли, хімічне розкладання, вивітрювання будівельних матеріалів конструкцій і т.п., а також визначалась загальна картина деформацій і пошкоджень та можлива тенденція їх розвитку.

При візуальному обстеженні особлива увага приділялася огляду найбільш вразливих до пошкоджень та дефектів ділянок:

- основ та фундаментів – біля навантажених елементів несучих систем, у місцях зваження грунтів;
- стін, простінків – у місцях підвищеного зваження з заморожуванням та відтаванням, у приляганнях до підлоги та перекриття;
- перекриттів та покрівтів – у зоні дії максимальних згинальних моментів, поперечних сил, передачі зосереджених зусиль, в місцях з'єднання;
- покрівлі – у місцях підвищеного зваження та пошкоджень з боку приміщень, на ділянках з підвищеною щільністю або насиченого вологом утеплювача.

При огляді виявлялися:

- дефекти, котрі обумовлені недоліками виготовлення конструкцій;
- дефекти, допущені при монтажі та зведенні конструкцій;
- пошкодження від непередбачених статичних, динамічних та температурних впливів;
- пошкодження від зовнішніх впливів навколишнього середовища.

## 2.2. Інструментальне фіксування дефектів та пошкоджень

Для інструментальної фіксації деформацій, дефектів і пошкоджень на видимих (відкритих або розкритих) поверхнях конструкцій використовувалися:

Змін.	Арк.	№ докум.	Підпис	Дата

№ 30/2017 – ТО

Арк.

11

- для виміру ширини розкриття тріщин – мікроскоп МПБ-2 (заводський №8709703) з градуованім окуляром на ціну поділки 0,01мм;
- для вимірюв прогинів, осадок, переломів, викривлень та випнень – висок, струна з сталевого дроту, лінійки сталеві і рулетки з ціною поділки 1мм;
- для замірів відхилення поверхонь від вертикалі (кренів) – квадрант геодезичний з ціною поділки 0,5';
- міцність бетону (ДСТУ Б В.2.7-220:2009) визначена неруйнівним методом ударного імпульсу з використанням універсального вимірювача міцності будівельних матеріалів (склерометра) "ИПС-МГ4.03" (заводський №6637).

Фото 11 – відображені результати перевірки міцності бетону

Змн.	Арк.	№ докум.	Підпис	Дата

№ 30/2017 – ТО

Арк.

12

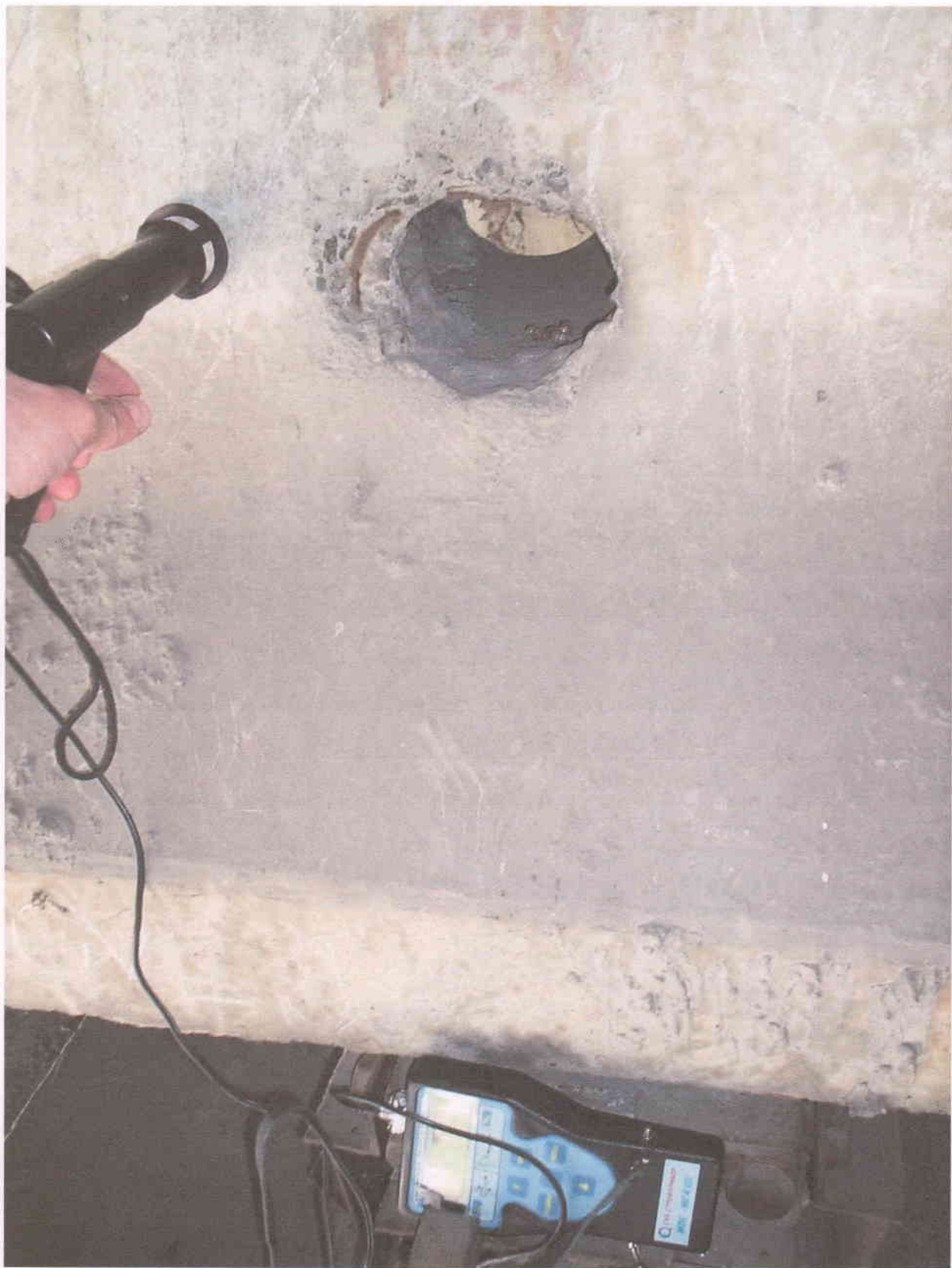


Рис. 2.1 – Визначення міцності бетону неруйнівним методом ударного імпульсу з використанням універсального вимірювача міцності будівельних матеріалів (склерометра) "ИПС-МГ4.03"

Змн.	Арк.	№ докум.	Підпис	Дата

№ 30/2017 – ТО

Арк.

13

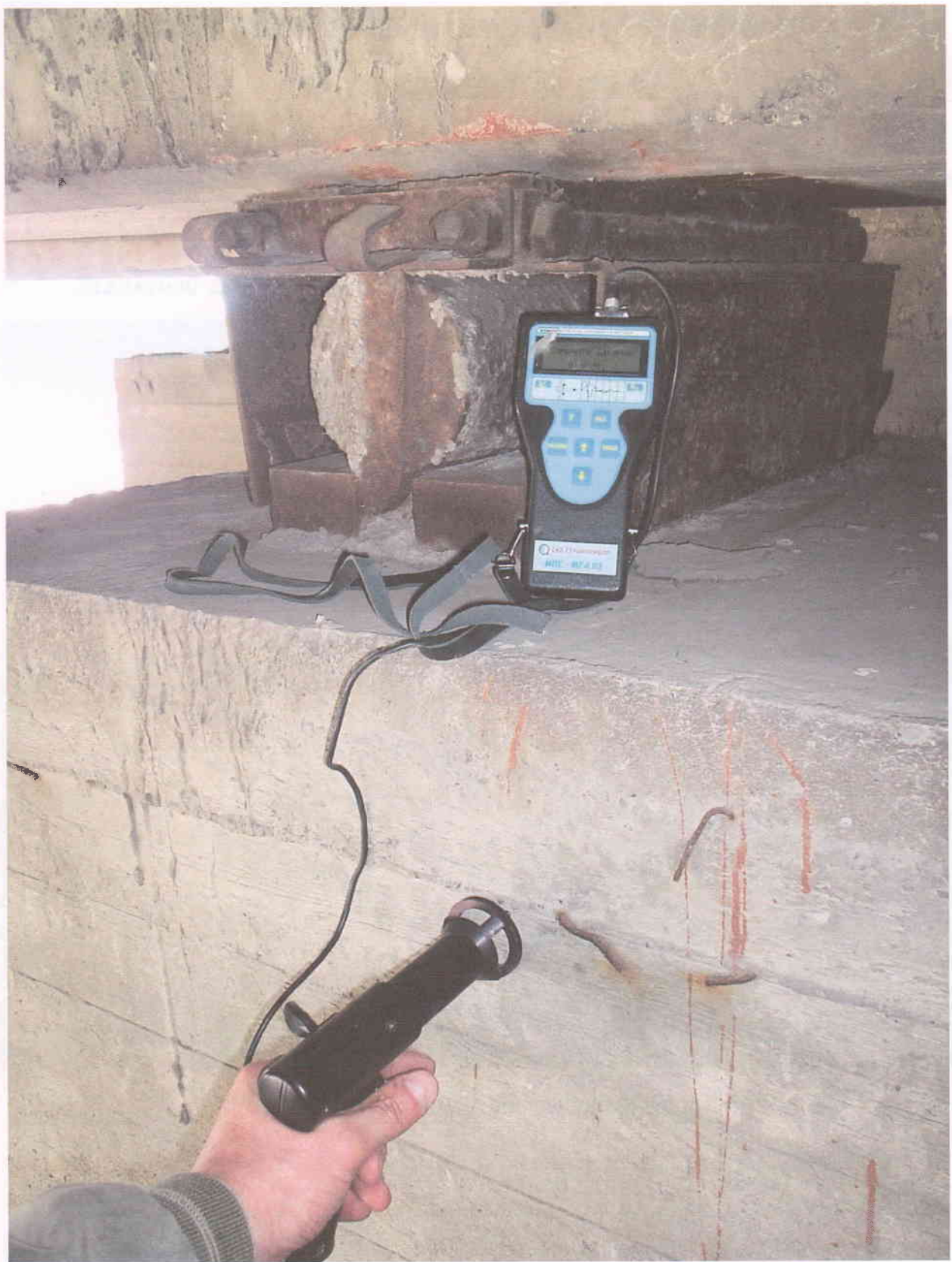


Рис. 2.2 – Визначення міцності бетону неруйнівним методом ударного імпульсу з використанням універсального вимірювача міцності будівельних матеріалів (склерометра) "ІПС-МГ4.03"

Змн.	Арк.	№ докум.	Підпис	Дата

№ 30/2017 – ТО

Арк.

14

## З РЕЗУЛЬТАТИ ОБСТЕЖЕНЬ КОНСТРУКЦІЙ БУДІВЕЛЬ (СПОРУД) ТА ОЦІНЮВАННЯ ЇХ СТАНУ

### 3.1 Результати обстеження залізобетонних балочних прогонових будов шляхопроводу

Загальний вид шляхопроводу наведений (див. рис.3.1) в осях 1-8.



Рис. 3.1 – Загальний вид шляхопроводу в осях 1-8

Зм.	Лист	№ докум.	Підпис	Дата
Розробив	Носач О.Б.			
Перевірив	Рожко В.Н.			
Н.контр.				

№ 30/2017 – ТО

З РЕЗУЛЬТАТИ ОБСТЕЖЕНЬ  
КОНСТРУКЦІЙ БУДІВЛІ ТА  
ОЦІНЮВАННЯ ЇХ СТАНУ

Стадія	Аркуш	Аркушів
ТО	15	129
ФОП Рожко В.Н.		

Схема розташування конструкцій шляхопроводу показана в додатку А.

Дефекти залізобетонних конструкцій шляхопроводу наведені в додатку Б (таблиця Б.1), фотографії дефектів в додатку В.

Розрахункові поперечні перерізи пролітних конструкцій наведені в додатку Г.

Перевірочні розрахунки пролітних конструкцій (21 м та 33 м) наведено в додатку Д. Перерізи пролітних споруд та інформація щодо схем армування взята згідно з [21-42]. Навантаження від рухомого складу прийняті в розрахунок згідно з ДБН В. 1.2-15:2009. «Споруди транспорту. Мости та труби. Навантаження та впливи» [44]. Перевірочний розрахунок виконано у відповідності з вимогами ДБН В.2.3-14:2006. «Споруди транспорту. Мости та труби. Правила проектування» [43] за методичними матеріалами [45, 46, 47].

#### **Залізобетонні конструкції шляхопроводу**

В результаті обстеження виявлено дефекти та пошкодження (див. табл. Б.1) пролітних споруд шляхопроводу.

За класифікаційними ознаками ДСТУ-Н Б В.1.2-18:2016 «Настанова щодо обстеження будівель і споруд для визначення та оцінки їх технічного стану» [14] та ДСТУ-Н Б В.2.3-23:2009 «Споруди транспорту. Настанова з оцінювання і прогнозування технічного стану автодорожніх мостів» [16] технічний стан залізобетонних конструкцій (елементів) на момент обстеження – II (задовільний).

Змін.	Арк.	№ докум.	Підпис	Дата

№ 30/2017 – ТО

Арк.

## 4 ВИСНОВКИ

1. На момент обстеження виявлено дефекти і пошкодження залізобетонних конструкцій шляхопроводу по вул. Хорольській у м.Миргород (див. табл. 1 додатку Б даного звіту). За класифікаційними ознаками ДСТУ-Н Б В.1.2-18:2016 «Настанова щодо обстеження будівель і споруд для визначення та оцінки їх технічного стану» [14] та ДСТУ-Н Б В.2.3-23:2009 «Споруди транспорту. Настанова з оцінювання і прогнозування технічного стану автодорожніх мостів» [16] технічний стан залізобетонних конструкцій (елементів) на момент обстеження – II (задовільний).

2. Перевірочний розрахунок несучої здатності конструкцій наведено в додатку Д. Згідно з його результатами в конструкціях не відбувається розкриття нормальних і похилих тріщин, а прогини відповідають нормативним значенням.

3. Для безпечної і надійної експлуатації конструкцій шляхопроводу необхідного в ході поточного ремонту виконати ремонт гідроізоляції під дорожнім одягом та замінити зношені елементи відповіднення деформаційних швів.

Зм.	Лист	№ докум.	Під час	Дата
Розробив		Носач О.Б.		
Передбачив		Рожко В.Н.		
Н.контр.				

№ 30/2017 – ТО

## 4 ВИСНОВКИ

Стадія	Аркуш	Аркушів
ТО	17	129

ФОП Рожко В.Н.

ДОДАТОК А

ГРАФІЧНІ МАТЕРІАЛИ.

СХЕМИ РОЗТАШУВАННЯ ПРОЛІТНИХ СПОРУД ШЛЯХОПРОВОДУ

Зм.	Лист	№ докум.	Підпис	Дата
Розробив	Носач О.Б.			
Перевірив	Рожко В.Н.			
Н.контр.				

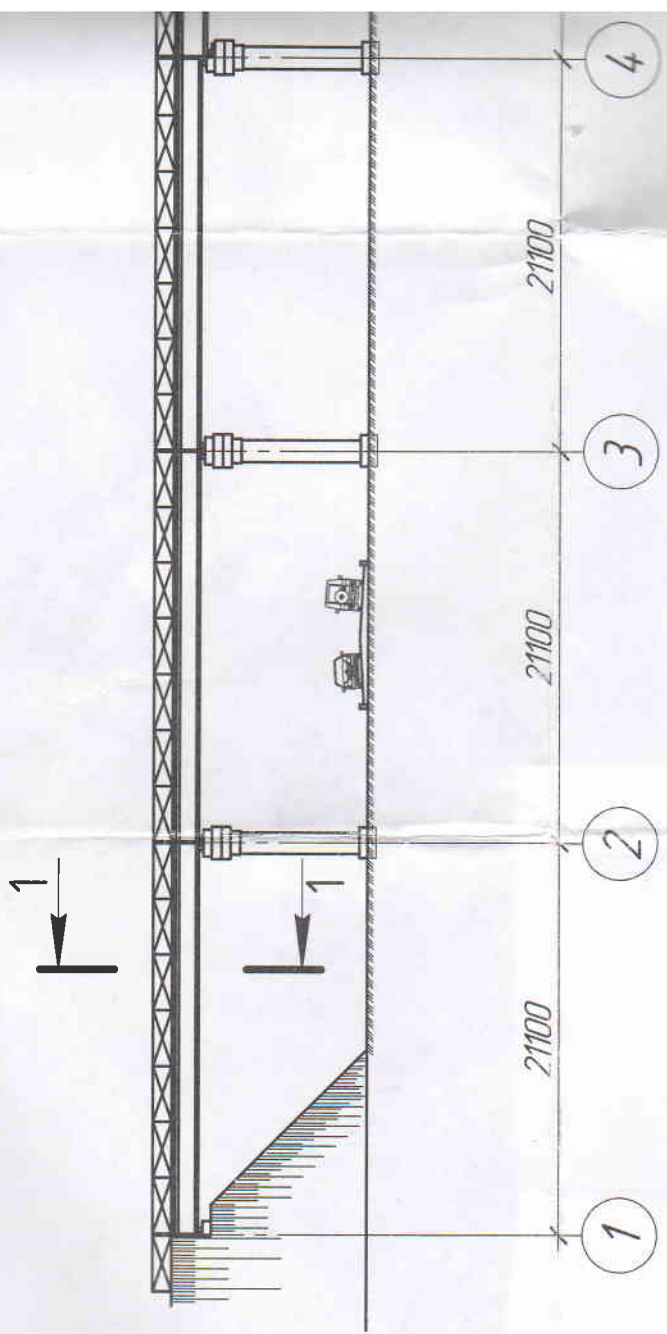
№ 30/2017 - ТО

ДОДАТОК А.  
ГРАФІЧНІ МАТЕРІАЛИ

Стадія	Аркуш	Аркушів
ТО	23	129

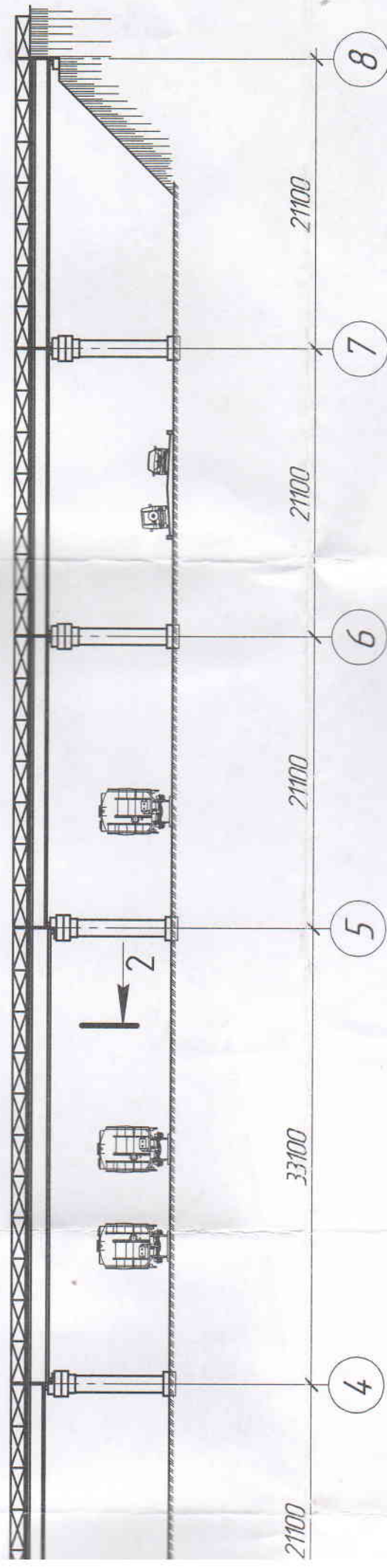
ФОП Рожко В.Н.

Фасад 1-8 по ОСИ

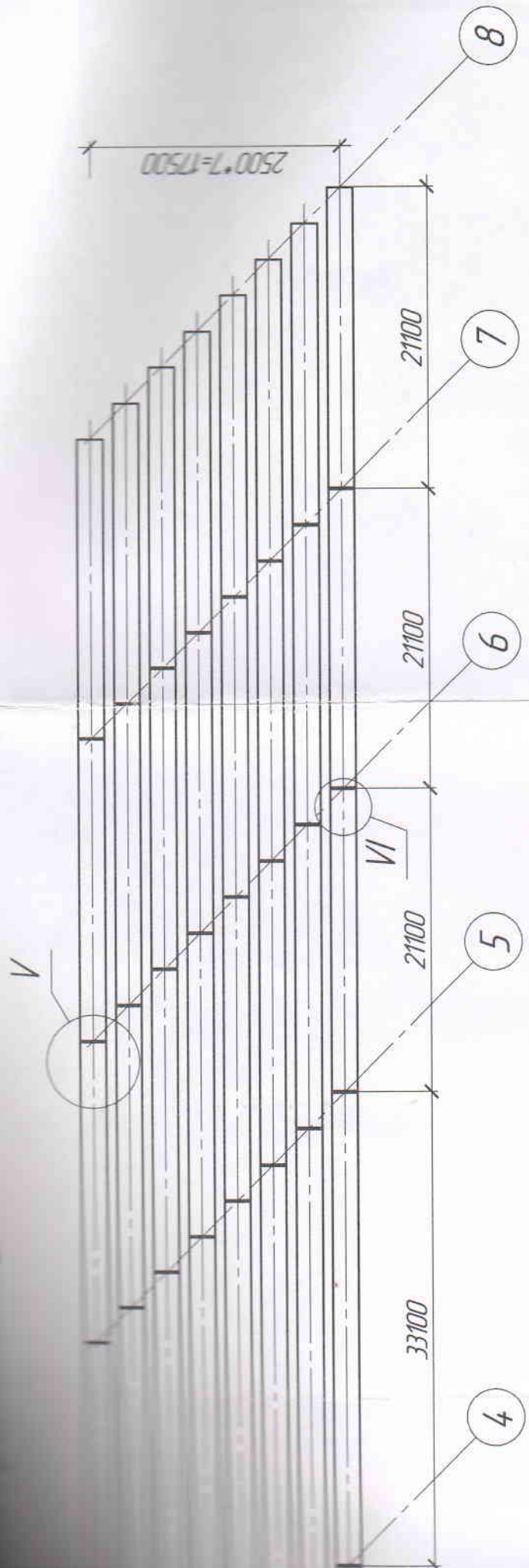


7 1-8 no oci A

2



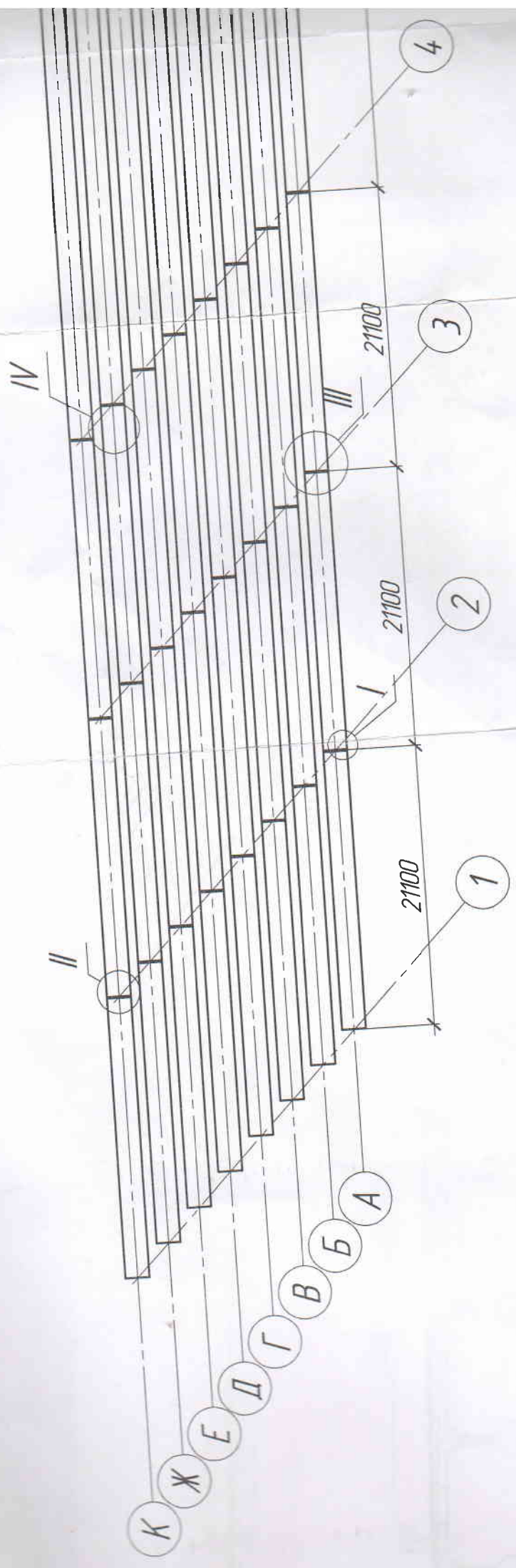
# Модель для опробування



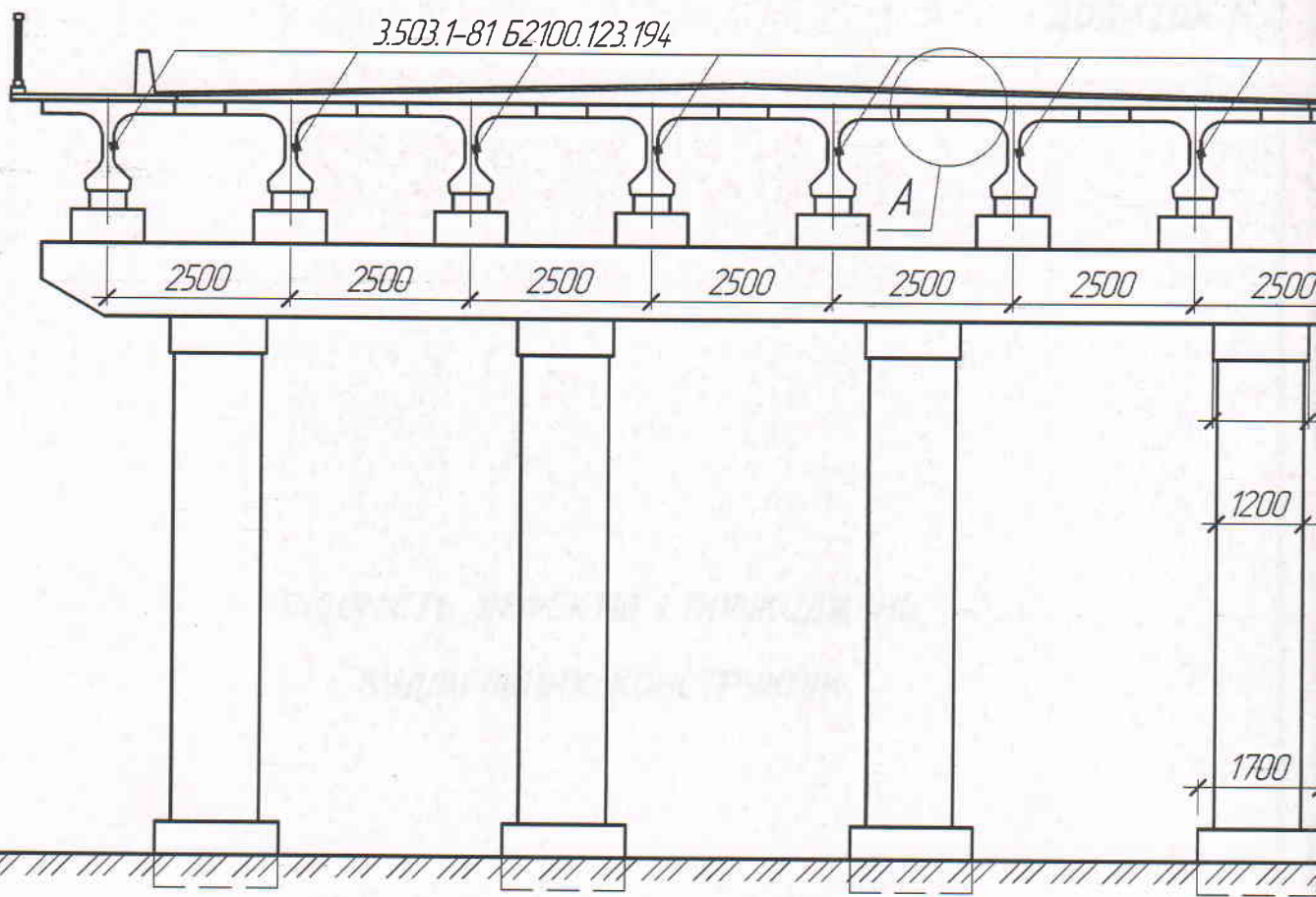
Зм	Кінець листа	№ лінк	Підл.	Дата	Стадія	Аркуш	Аркуш

Схема розташування пропилних споруд 1-8, А-К

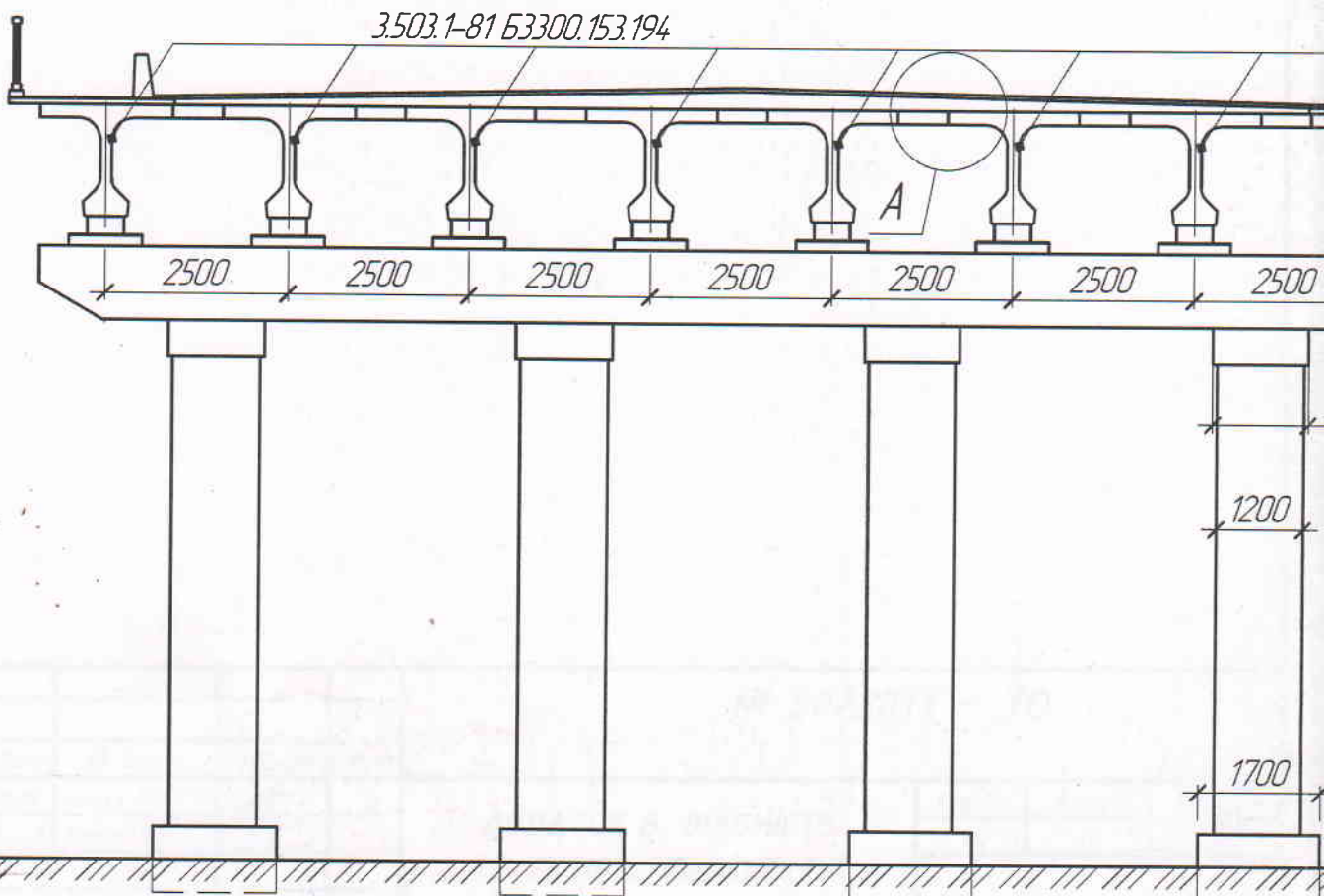
Схема розташування пролітн

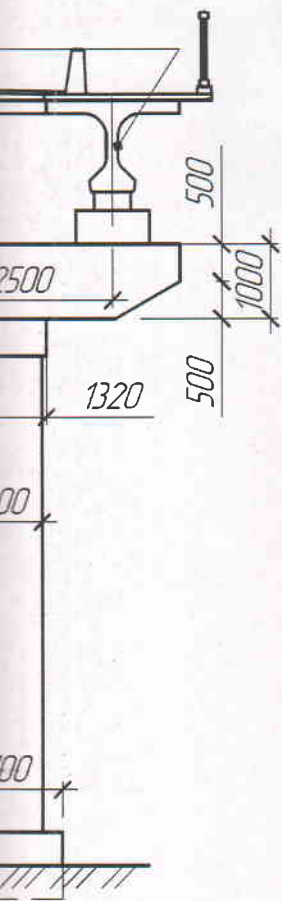


Розріз 1-1



Розріз 2-2

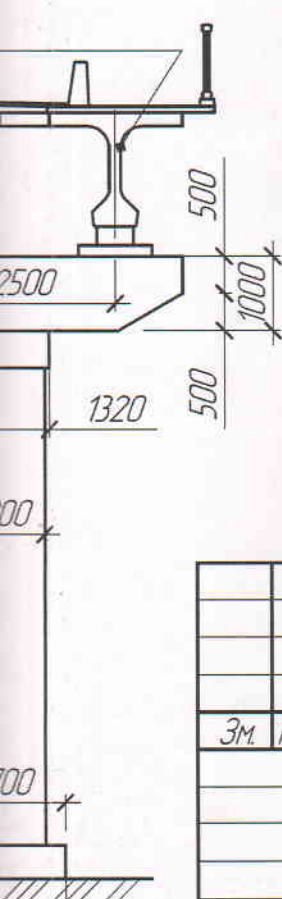




A

- 1) шар зносу (асфальтобетон 70-150мм)
  - 2) захисний шар (цементобетон C30/35 50мм Br-1 φ3мм  $s_1=s_2=100\text{мм}$ )
  - 3) гідроізоляція (фольговані з шаром 10мм)
  - 4) вирівнюючий шар 150мм (40/45, W6)
  - 5) Б2100.123.194 (Б3300.153.194)

$i=0.02$



Зм.	Кіл.цч.	Лист	№ док.	Підп.	Дата

## Розріз 1-1, розріз 2-2 конструкція дор. покриття

**ДОДАТОК В**

**ФОТОГРАФІЇ БУДІВЕЛЬНИХ КОНСТРУКЦІЙ**

Зм.	Лист	№ докум.	Підпис	Дата
Розробив	Носач О.Б.			
Перевірив	Рожко В.Н.			
Н.контр.				

**№ 30/2017 - ТО**

**ДОДАТОК В. ФОТОГРАФІЇ  
БУДІВЕЛЬНИХ КОНСТРУКЦІЙ**

Стадія	Аркуш	Аркушів
TO	34	129

**ФОП Рожко В.Н.**

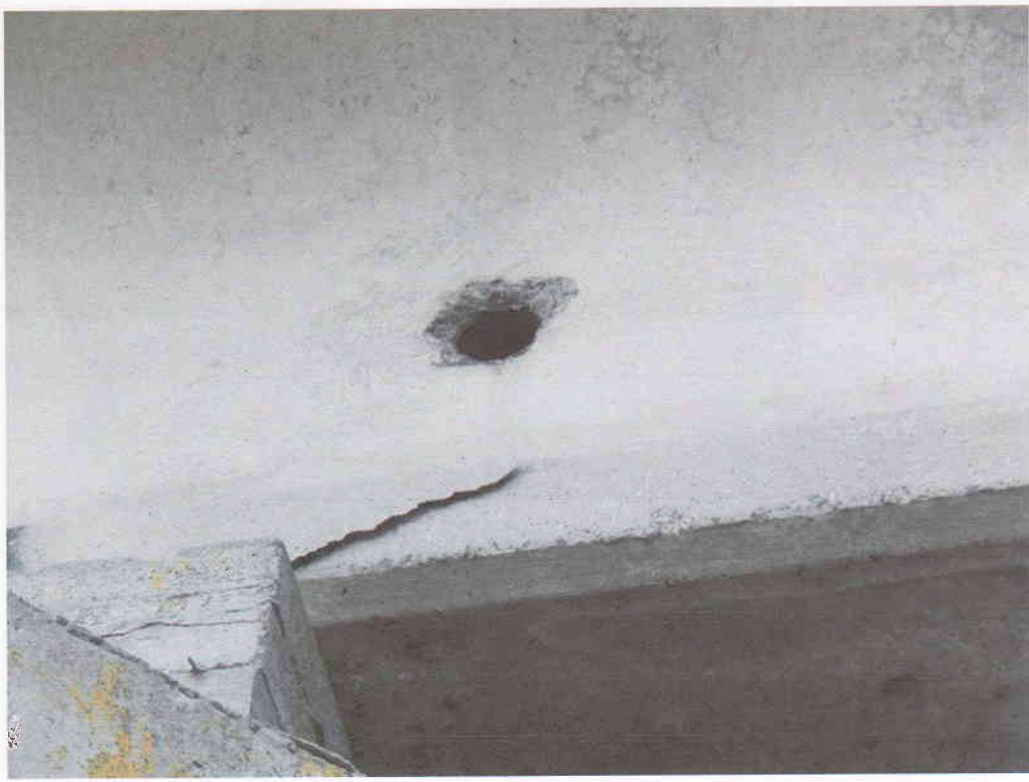


Рис. В.1.1 – Балка А в осях 1-2, вид А-К



Рис. В.1.2 – Вид з доку мостової балки А, в осях 1-2, вид А-К

Змн.	Арк.	№ докум.	Підпис	Дата

№ 30/2017 – ТО

Арк.

35



Рис. В.1.3 – Каткова опора по осям 1-2, балка А, вид А-К

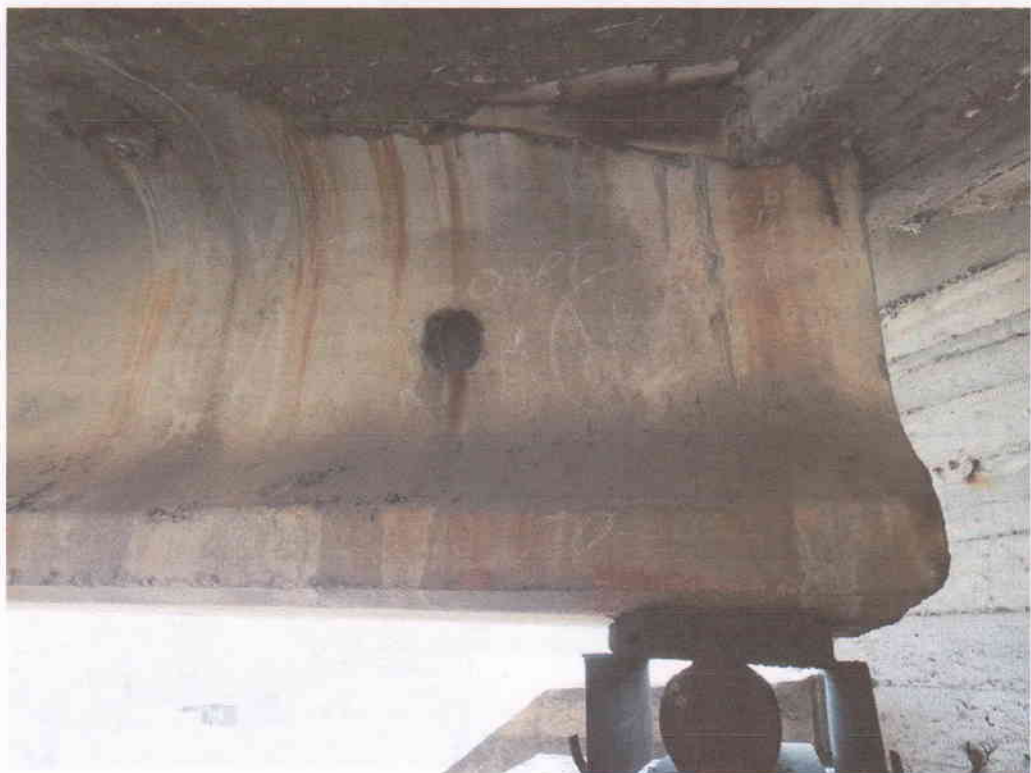


Рис. В.1.4 – Балка А вид по осям 1-2, вид А-К

Змн.	Арк.	№ докум.	Підпис	Дата

№ 30/2017 – ТО

Адк.

36



Рис. В.1.5 – Каткова опора по осям 1-2, балка А, вид А-К



Рис. В.1.6 – Каткова опора по осям 1-2, балка Б, вид А-К

Змн.	Арк.	№ докцм.	Підпис	Дата

№ 30/2017 – ТО

Арк.

37



Рис. В.1.7 – Каткова опора по осям 1-2, балка В, вид А-К



Рис. В.1.8 – Каткова опора по осям 1-2, балка Г, вид А-К

Змн.	Арк.	№ докум.	Підпис	Дата

№ 30/2017 – ТО

Арк.

38



Рис. В.1.9 – Каткова опора по осям 1-2, балка Д, вид А-К

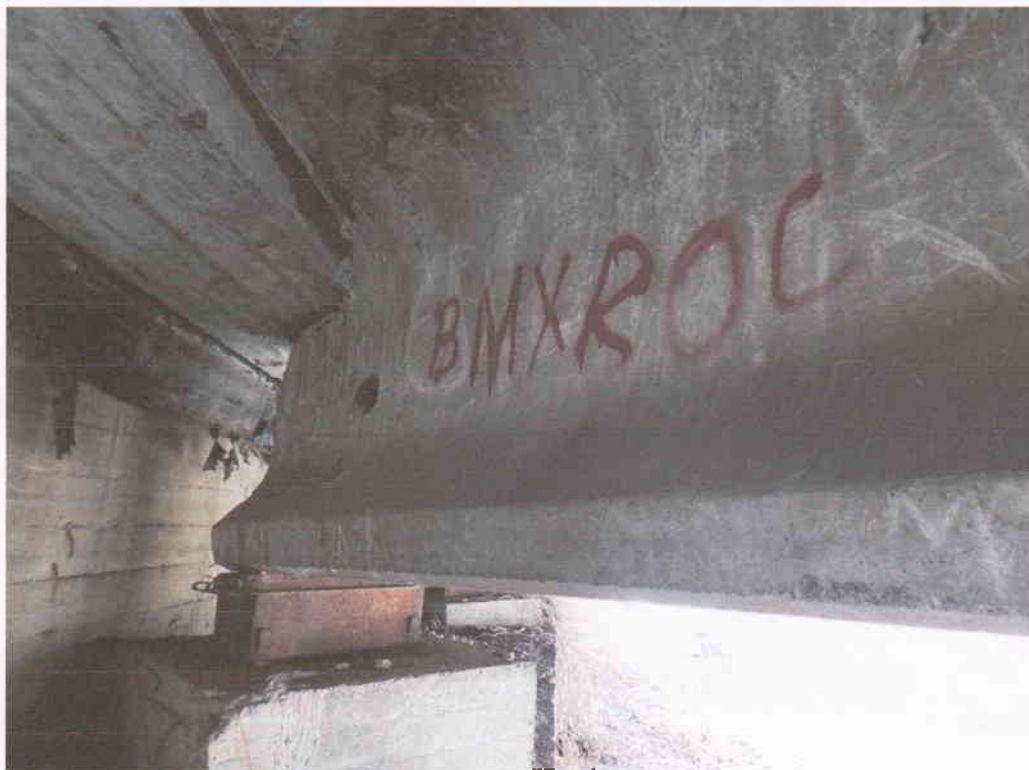


Рис. В.1.10 – Каткова опора, балка Е в осях 1-2, вид А-К

Змн.	Арк.	№ докум.	Підпис	Дата

№ 30/2017 – ТО

Арк.

39



Рис. В.1.13 – Балка К в осях 1-2, вид К-А



Рис. В.1.14 – Балка А в осях 1-2, вид К-А

Змн.	Арк.	№ докум.	Підпис	Дата

№ 30/2017 – ТО

АДК.



Рис. В.1.15 – Балка К в осях 1-2, вид К-А



Рис. В.1.16 – Лежень в осях 1-2, вид А-К

Змн.	Арк.	№ докум.	Підпис	Дата

№ 30/2017 – ТО

Арк.

42



Рис. В.1.19 – Балка К в осях 1-2, вид К-А



Рис. В.1.20 – Балка А в осі 3, вид К-А

Змн.	Арк.	№ докум.	Підпис	Дата

№ 30/2017 – ТО

Adk.



Рис. В.1.25 – Балка Е в осі З, вид К-А



Рис. В.1.26 – Балка Ж в осі З, вид К-А

Змн.	Арк.	№ докум.	Підпис	Дата

№ 30/2017 – ТО

Арк.

47

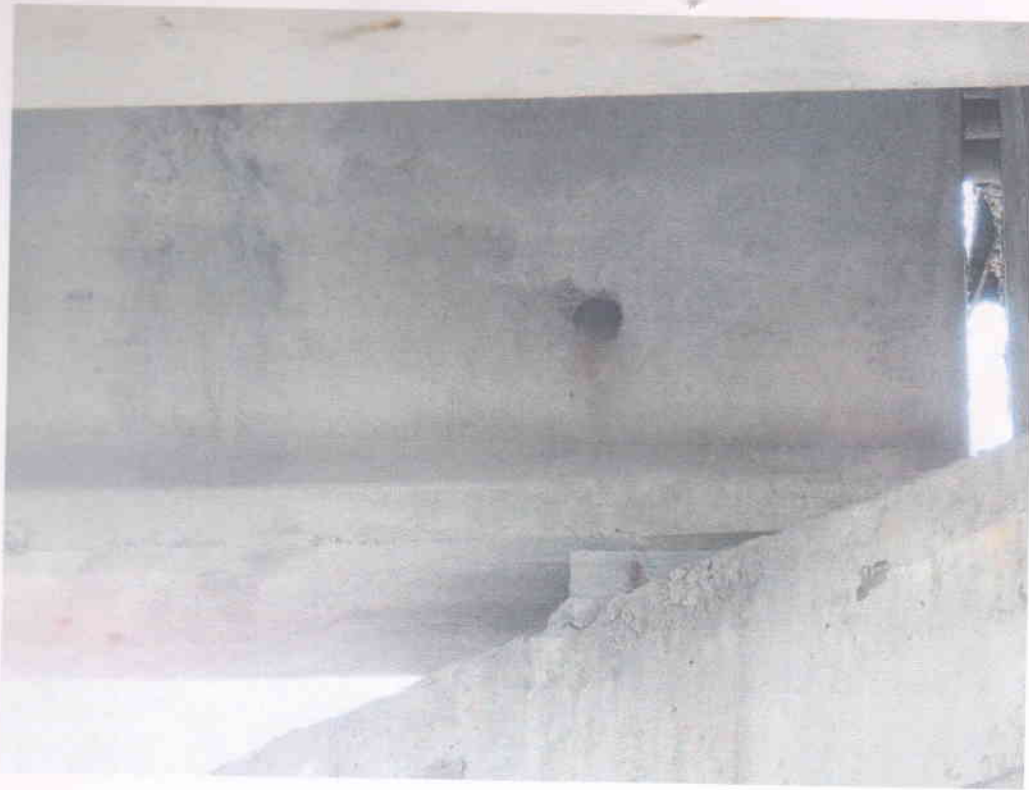


Рис. В.1.27 – Балка К в осі З, вид К-А

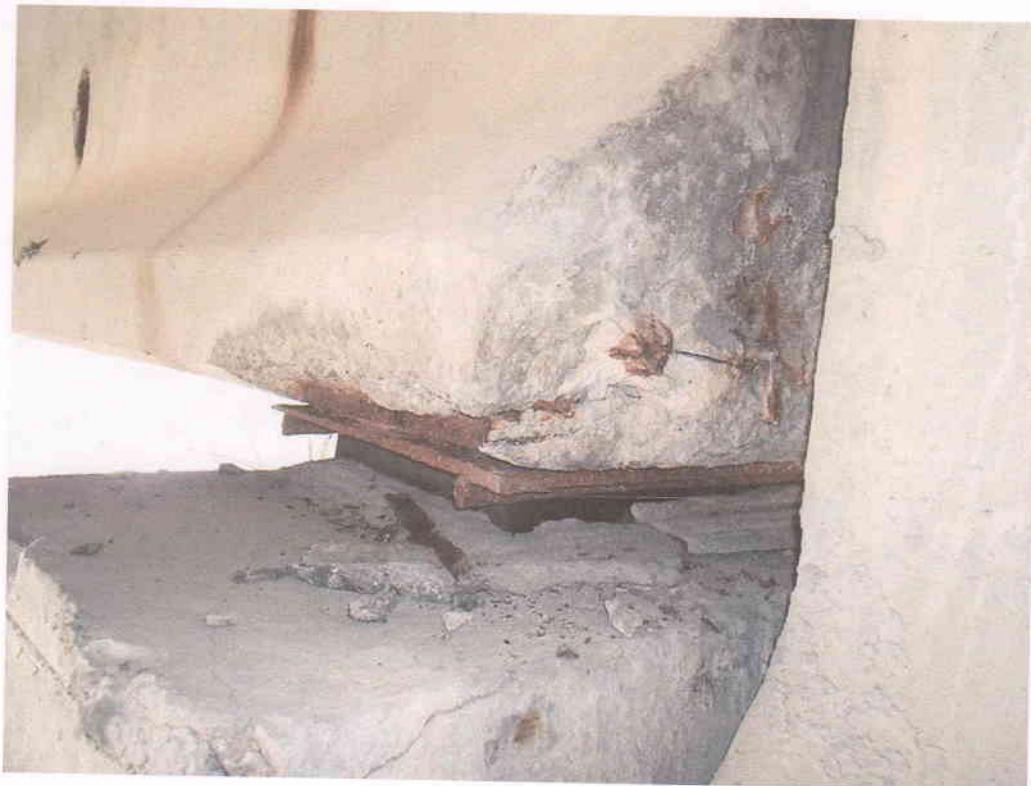


Рис. В.1.28 – Балка А в осі З, вид К-А

Змн.	Арк.	№ докум.	Підпис	Дата

№ 30/2017 – ТО

Арк.

48



Рис. В.1.29 – Каткова опора, балка А в осі З, вид К-А

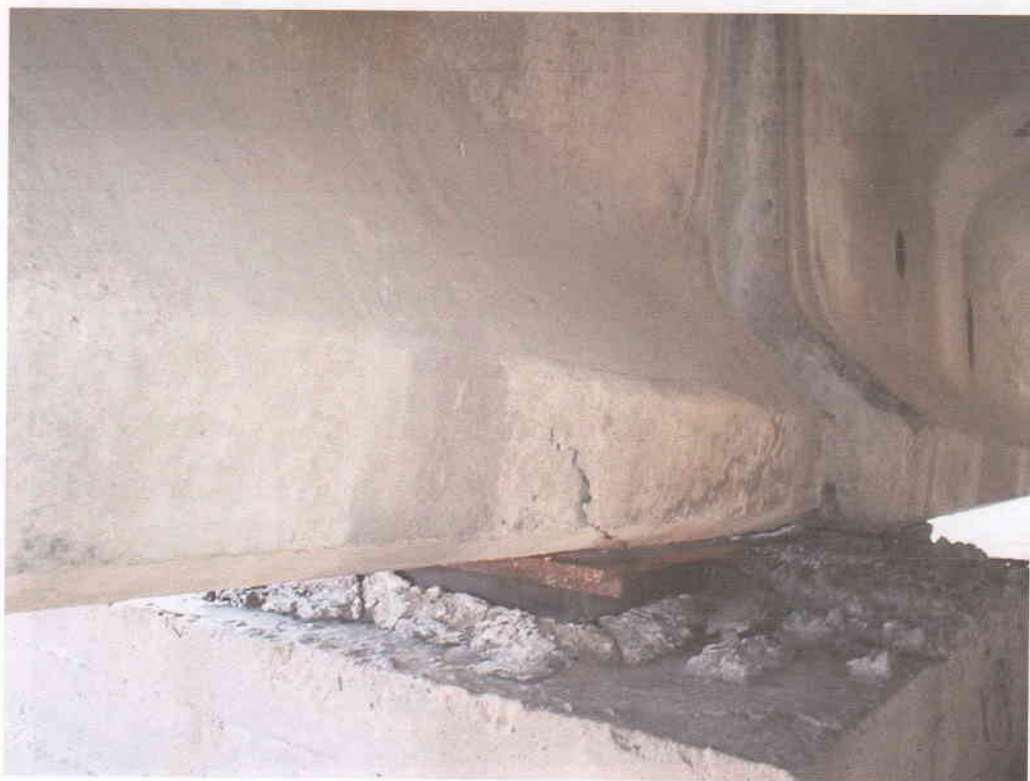


Рис. В.1.30 – Балка Ж в осі З, вид К-А

Змн.	Арк.	№ докум.	Підпис	Дата

№ 30/2017 – ТО

Арк.

49



Рис. В.1.31 – Балка Ж в осі 3, вид К-А



Рис. В.1.32 – Балка А в осі 4, вид К-А

Змн.	Арк.	№ докум.	Підпис	Дата

№ 30/2017 – ТО

Арк.

50



Рис. В.147 – Балка К в осі 5, вид К-А



Рис. В.148 – Балка А в осі 5-6, вид К-А

Змн.	Арк.	№ докцм.	Підпис	Дата

№ 30/2017 – ТО

Арк.

58



Рис. В.1.49 – Балка А в осі 5-6, вид А-К



Рис. В.1.50 – Балка А в осі 5-6, вид А-К

Змн.	Арк.	№ докум.	Підпис	Дата

№ 30/2017 – ТО

Арк.

59



Рис. В.1.51 – Балка К в осі 5-6, вид А-К



Рис. В.1.52 – Балка А в осі 6, вид К-А

Змн.	Арк.	№ доким.	Підпис	Дата

№ 30/2017 – ТО

Арк.

60



Рис. В.1.57 – Балка Е в осі 6, вид К-А



Рис. В.1.58 – Балка Ж в осі 6, вид К-А

Змн.	Арк.	№ докум.	Підпис	Дата

№ 30/2017 – ТО

Арк.

63



Рис. В.1.59 – Балка К в осі 6, вид К-А



Рис. В.1.60 – Балка А в осі 7, вид К-А

Змн.	Арк.	№ докум.	Підпис	Дата

№ 30/2017 – ТО

ADK.



Рис. В.1.63 – Балка Г в осі 7, вид К-А



Рис. В.1.64 – Балка Д в осі 7, вид К-А

Змн.	Арк.	№ докцм.	Підпис	Дата

№ 30/2017 – ТО

Арк.

66



Рис. В.1.67 – Балка А в осі 8, вид К-А



Рис. В.1.68 – Балка Б в осі 8, вид К-А

Змн.	Арк.	№ докум.	Підпис	Дата

№ 30/2017 – ТО

АДК.

68



Рис. В.1.75 – Загальний вид осі 1-2, вид А-К



Рис. В.1.76 – Лежень в осіх 2-3, вид А-К

Змн.	Арк.	№ докум.	Підпис	Дата

№ 30/2017 – ТО

Арк.

72



Рис. В.1.77 – Лежень в осях З-4, вид А-К



Рис. В.1.78 – Лежень в осях 4-5, вид А-К

Змн.	Арк.	№ докум.	Підпис	Дата

№ 30/2017 – ТО

Арк.

73